

Ю. Л. Тарасов

РАСЧЕТ КОНИЧЕСКИХ И СФЕРИЧЕСКИХ ОБОЛОЧЕК, НАГРУЖЕННЫХ ПО КРАЮ КРУГОВОГО ОТВЕРСТИЯ РАСПРЕДЕЛЕННЫМИ ОСЕВЫМИ СИЛАМИ

Принятые обозначения

- M_1, M_2, Q, N_1, N_2 — изгибающие моменты, перерезывающая сила, нормальные усилия;
 δ, D — толщина оболочки, изгибная жесткость оболочки;
 μ, E — коэффициент Пуассона, модуль упругости материала оболочки;
 p — внутреннее давление;
 Δ — приращение радиуса параллельного круга оболочки;
 ϑ — угол поворота нормали к меридиану оболочки.

При исследовании напряженного состояния сочленений оболочек вращения приходится рассматривать оболочки под воздействием самоуравновешенных контурных усилий M, H и распределенных по краю кругового отверстия осевых сил N (фиг. 1).

Дифференциальные уравнения, характеризующие деформированное состояние оболочки вращения, имеют вид [1]:

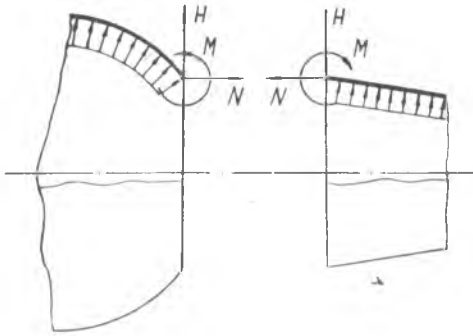
$$\begin{aligned} L(V) + \mu V &= E\delta R_1 \vartheta + \Phi(\theta), \\ L(\vartheta) - \mu \vartheta &= -\frac{R_1}{D} V. \end{aligned} \quad (1)$$

Через функции V и ϑ выражаются перемещения, усилия и деформации оболочки. Функция $\Phi(\theta)$ определяется характером нагрузок, действующих на оболочку. При нагружении только самоуравновешенными контурными усилиями $\Phi(\theta) = 0$, следовательно, система уравнений будет однородной. При действии же сил N и поверхностной нагрузки p уравнения (1) будут неоднородными и возникает необходимость отыскивать их частные решения. Для этого случая нагружения предлагается способ представления напряженного состояния оболочки в виде суммы двух состояний (фиг. 2). Одно из них (фиг. 2 б) соответствует нагруже-

нию самоуравновешенными силами, перпендикулярными, как силы H , оси оболочки; другое показано на фиг. 2в.

Такое представление напряженного состояния производит ниже для конической и сферической оболочек.

а) Коническая оболочка.



Фиг. 1.

Рассмотрим оболочку, схема нагружения которой показана на фиг. 3а. Из этой схемы видно, что оболочка подвержена действию сил параллельных оси, и внутреннего давления p . Эти нагрузки заменяются самоуравновешенными силами $N \operatorname{tg} \alpha$ перпендикулярными оси оболочки (фиг. 3б), и силами $N/\cos \alpha$, действующими вдоль образующих оболочки совместно с внутренним нормальным давлением (фиг. 3в). Оболочка в

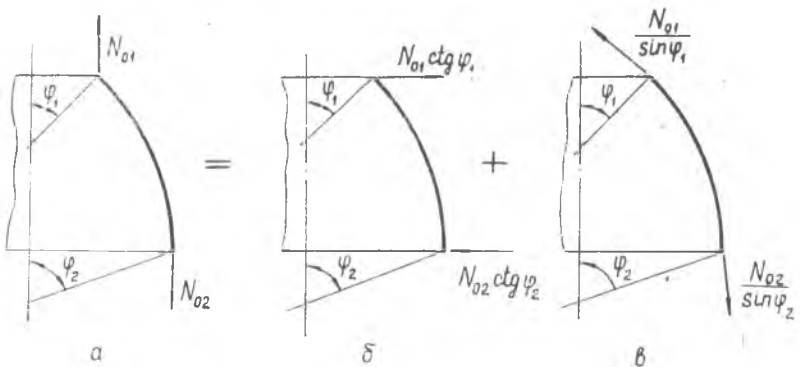
следнем случае будет работать в напряженном состоянии, близком к безмоментному [2].

На основании общего решения однородной системы уравнений изгиба конических оболочек [3] формулы для определения усилий и перемещений Φ ; Δ можно привести к следующему виду:

$$Q = \frac{1}{s} [B_1 a_1(x) + D_1 b_1(x) + B_2 a_2(x) + D_2 b_2(x)], \quad (1)$$

$$N_1 = -Q \operatorname{tg} \alpha, \quad (2)$$

$$N_2 = -\frac{\operatorname{tg} \alpha}{s} [B_1 d_1(x) + D_1 h_1(x) + B_2 d_2(x) + D_2 h_2(x)], \quad (3)$$



Фиг. 2

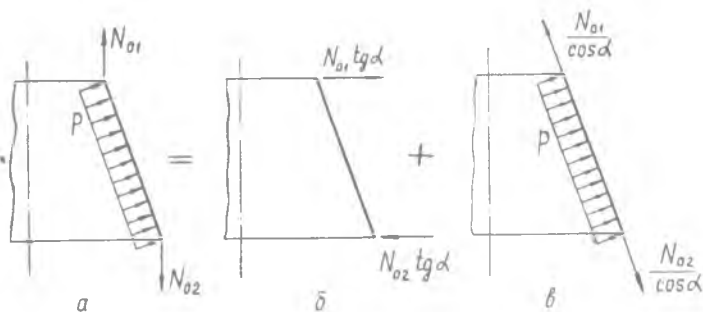
$$M_1 = \frac{1}{2\lambda^2 s} [B_1 g_1(x) - D_1 q_1(x) + B_2 g_2(x) - D_2 q_2(x)], \quad (5)$$

$$M_2 = \frac{1}{2\lambda^2 s} [B_1 p_1(x) - D_1 k_1(x) + B_2 p_2(x) - D_2 k_2(x)], \quad (6)$$

$$\vartheta = \frac{1}{D\lambda^2} [B_1 b_1(x) - D_1 a_1(x) + B_2 b_2(x) - D_2 a_2(x)], \quad (7)$$

$$\Delta = \frac{s \operatorname{tg} \alpha \sin \alpha}{E\delta} (N_2 - \mu N_1) =$$

$$= -\frac{\operatorname{tg}^2 \alpha \sin \alpha}{E\delta} [B_1 f_1(x) + D_1 m_1(x) + B_2 f_2(x) + D_2 m_2(x)]. \quad (8)$$



Фиг. 3.

В этих формулах

$$a_1 = \operatorname{ker} x - \frac{2}{x} \operatorname{kei}' x; \quad b = \operatorname{kei} x + \frac{2}{x} \operatorname{ker}' x; \quad (9)$$

$$d_1 = x \operatorname{ker}' x - 2 \operatorname{ker} x + \frac{4}{x} \operatorname{kei}' x;$$

$$h_1 = x \operatorname{kei}' x - 2 \operatorname{kei} x - \frac{4}{x} \operatorname{ker}' x; \quad (10)$$

$$g_1 = h_1(x) + 2\mu b_1(x); \quad q_1 = d_1(x) + 2\mu a_1(x); \quad (11)$$

$$p_1 = \mu h_1(x) + 2b_1(x); \quad k_1 = \mu d_1(x) + 2a_1(x); \quad (12)$$

$$f_1 = d_1(x) - \mu a_1(x), \quad (13)$$

$$m_1 = h_1(x) - \mu b_1(x);$$

$$x = 2\lambda \sqrt{s} = 2 \sqrt[4]{12(1 - \mu^2) \operatorname{ctg}^2 \alpha} \sqrt{\frac{s}{\delta}}. \quad (14)$$

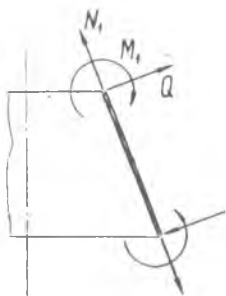
Формулы для определения функций, имеющих индексы «2», получаются из (9)–(13) путем замены функций $\operatorname{ker} x$, $\operatorname{kei} x$ и их производных на $\operatorname{ber} x$, $\operatorname{bei} x$ и их производные.

Положительные направления усилий и перемещений показаны на фиг. 4.

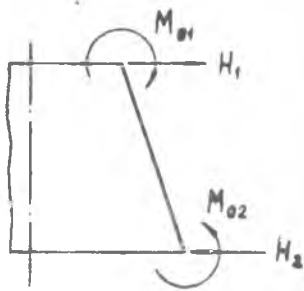
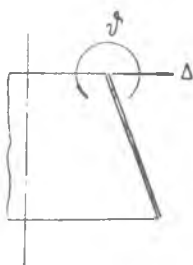
Для определения постоянных интегрирования воспользуемся граничными условиями для случая, показанного на фиг. 5:

при $s = s_1$ $M_1(x_1) = M_{01}$, $Q(x_1) = H_1 \cos \alpha$, (15)

$s = s_2$ $M_1(x_2) = M_{02}$, $Q(x_2) = H_2 \cos \alpha$. (16)



Фиг. 4.



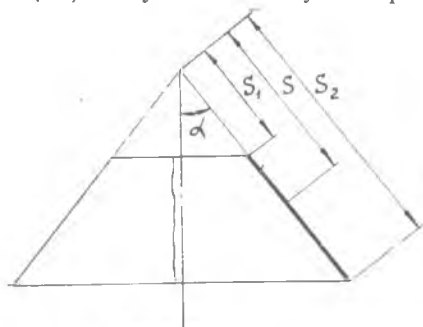
Фиг. 5.

Величины x_1 и x_2 определяются по формуле (14) и соответствующим s_1 и s_2 (фиг. 6). На основании выражений (2) и (5) из (15) и (16) получим систему четырех линейных алгебраических уравнений относительно B_1 , D_1 , B_2 и D_2

Ограничимся рассмотрением оболочек, стенка которых достаточно тонка, а расстояние между основаниями настолько велико, что $x_2 - x_1 \geq 4$. Тогда силы, приложенные к одному основанию, не будут влиять на деформации оболочки у другого основания, и постоянные B_1 и D_1 могут быть определены независимо от B_2 и D_2

Решив эти уравнения, получим

$$\begin{aligned} B_1 &= y_1(x_1) \left[s_1 H_1 q_1(x_1) \cos \alpha + \frac{1}{2} x_1^2 M_{01} b_1(x_1) \right], \\ D_1 &= y_1(x_1) \left[s_1 H_1 q_1(x_1) \cos \alpha - \frac{1}{2} x_1^2 M_{01} a_1(x_1) \right], \\ B_2 &= y_2(x_2) \left[s_2 H_2 q_2(x_2) \cos \alpha + \frac{1}{2} x_2^2 M_{02} b_2(x_2) \right], \\ D_2 &= y_2(x_2) \left[s_2 H_2 q_2(x_2) \cos \alpha - \frac{1}{2} x_2^2 M_{02} a_2(x_2) \right], \end{aligned} \quad (17)$$



Фиг. 6.

где

$$y_1(x_1) = \frac{1}{g_1(x_1) b_1(x_1) + q_1(x_1) a_1(x_1)}, \quad (18)$$

$$y_2(x_2) = \frac{1}{g_2(x_2) b_2(x_2) + q_2(x_2) a_2(x_2)}.$$

Положив в (17) $M_{01} = M_{02} = 0$, $H_1 = N_{01} \operatorname{tg} \alpha$ и $H_2 = N_{02} \operatorname{tg} \alpha$, получим для схемы нагружения, представленной на фиг. 4 б:

$$\vartheta(x_1) = E \delta^2 s_1 \cos \alpha N_{01} v_1(x_1), \quad (19)$$

$$\Delta(x_1) = -\frac{s_1 \operatorname{tg}^2 \alpha \sin^2 \alpha}{E \delta} N_{01} x_2(x_1), \quad (20)$$

$$\vartheta(x_2) = E \delta^2 s_2 \cos \alpha N_{02} v_2(x_2), \quad (21)$$

$$\Delta(x_2) = -\frac{s_2 \operatorname{tg}^2 \alpha \sin^2 \alpha}{E \delta} N_{02} x_2(x_2). \quad (22)$$

Здесь

$$v_1(x_1) = \frac{y_1(x_1)}{\sqrt{12(1-\mu^2)}} [b_1(x_1) q_1(x_1) - a_1(x_1) g_1(x_1)], \quad (23)$$

$$x_1(x_1) = y_1(x_1) [f_1(x_1) q_1(x_1) + m_1(x_1) g_1(x_1)], \quad (24)$$

$$v_2(x_2) = \frac{y_2(x_2)}{\sqrt{12(1-\mu^2)}} [b_2(x_2) q_2(x_2) - a_2(x_2) g_2(x_2)], \quad (25)$$

$$x_2(x_2) = y_2(x_2) [f_2(x_2) q_2(x_2) + m_2(x_2) g_2(x_2)]. \quad (26)$$

Вычисления, проведенные с использованием таблиц [7], показывают, что в интервале $10 \leq x \leq 100$ значения функций v_1 и v_2 практически постоянны и равны 0,3, функции же x_1 и x_2 могут быть аппроксимированы прямой $x_1 = x_2 \approx 1,43 x$.

Действие сил $H_1 = N_{01} \operatorname{tg} \alpha$ сказывается на перемещениях и напряжениях в точках оболочки, для которых $x - x_1 \leq 4$. Для определения усилий и перемещений Δ и ϑ следует воспользоваться формулами:

$$Q = y_1(x_1) \frac{s_1}{s} H_1 \cos \alpha [q_1(x_1) a_1(x) + g_1(x_1) b_1(x)], \quad (27)$$

$$N_1 = -\operatorname{tg} \alpha Q, \quad (28)$$

$$M_1 = y_1(x_1) \frac{s_1}{s} \frac{H_1 \cos \alpha}{2\lambda^2} [q_1(x_1) g_1(x) - g_1(x_1) q_1(x)], \quad (29)$$

$$\Delta = -\frac{1}{E \delta} y_1(x_1) s_1 H_1 \operatorname{tg} \alpha \sin^2 \alpha [q_1(x_1) f_1(x) + g_1(x_1) m_1(x)], \quad (30)$$

$$\vartheta = \frac{1}{D \lambda^2} y_1(x_1) s_1 H_1 \cos \alpha [q_1(x_1) b_1(x) + g_1(x_1) a_1(x)]. \quad (31)$$

Перемещения и усилия в точках оболочки, для которых $x_2 - x \leq 4$, зависят от сил $H_2 = N_{02} \operatorname{tg} \alpha$ и для их определения имеем такие формулы:

$$Q = y_2(x_2) \frac{s_2}{s} H_2 \cos \alpha [q_2(x_2) a_2(x) + g_2(x_2) b_2(x)], \quad (32)$$

$$N = -\operatorname{tg} \alpha Q, \quad (35)$$

$$M_1 = y_2(x_2) \frac{s_2}{s} \frac{H_2 \cos \alpha}{2\lambda^2} [q_2(x_2) g_2(x) - g_2(x_2) q_2(x)], \quad (36)$$

$$\Delta = -\frac{1}{E\delta} y_2(x_2) s_2 H_2 \operatorname{tg} \alpha \sin^2 \alpha [q_2(x_2) f_2(x) + g_2(x_2) m_2(x)], \quad (37)$$

$$\vartheta = \frac{1}{D\lambda^2} y_2(x_2) s_2 H_2 \cos \alpha [q_2(x_2) b_2(x) + g_2(x_2) a_2(x)]. \quad (38)$$

Если для рассматриваемой оболочки $4 \leq x_2 - x_1 \leq 8$, то при вычислении усилий и перемещений в точках, для которых $x_2 - x < 4$ и $x - x_1 < 4$, следует суммировать результаты, определенные соответственно по формулам (27) — (31) и (32) — (36).

Усилия и перемещения в точках оболочки для напряженного состояния, показанного на фиг. 3 в, определяются по формулам

$$N_1 = \frac{1}{2} ps \operatorname{tg} \alpha \left(1 - \frac{s_1^2}{s^2}\right) + \frac{N_{01}}{\cos \alpha} \frac{s_1}{s}, \quad (39)$$

$$N_2 = ps \operatorname{tg} \alpha, \quad (40)$$

$$\Delta = \frac{ps^2 \operatorname{tg} \alpha \sin \alpha}{2E\delta} \left(2 - \mu + \mu \frac{s_1^2}{s^2}\right) - \frac{\mu N_{01} \operatorname{tg} \alpha}{E\delta} \frac{s^2}{s_1}, \quad (41)$$

$$\vartheta = \frac{ps \operatorname{tg}^2 \alpha}{2E\delta} \left(3 + \frac{s_1^2}{s^2}\right) + \frac{N_{01} \operatorname{tg} \alpha}{E\delta \cos \alpha} \frac{s_1}{s}. \quad (42)$$

Итак, формулы (27) — (29), (32) — (34), (37) и (38) характеризуют напряженное состояние, показанное на фиг. 3 а, при помощи же формул (19) — (22) — (39) и (40) можно найти величины, необходимые для решения задачи о напряжениях и деформациях в сочленении конической оболочки с другими оболочками вращения.

Следует отметить, что выражения (37) — (40) совпадают с результатами безмоментной теории [4]. Изгибающие моменты хотя и будут здесь, но напряжения, вызываемые ими, будут невелики по сравнению с напряжениями от действия N_1 и N_2 .

б) Сферическая оболочка.

Вертикальную погонную нагрузку, действующую на сферическую оболочку (фиг. 7 а), как и в предыдущем случае, можно представить в виде результирующей двух нагрузок. Одна из них, а именно $N_{01} \operatorname{ctg} \varphi_1$, перпендикулярна оси оболочки (фиг. 7 б). Силы же $N_{01}/\sin \varphi_1$ действуют по касательной к меридиану при $\varphi = \varphi_1$. При действии этих сил и внутреннего давления p состояние оболочки будет безмоментным.

Для безмоментного напряженного состояния, показанного на фиг. 7 в:

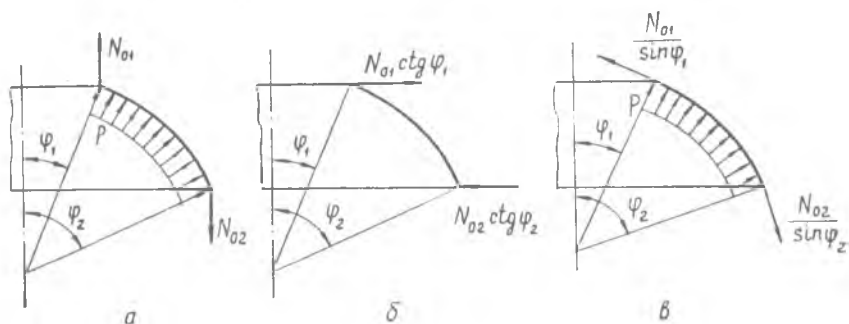
$$N_1 = \frac{N_{01} \sin \varphi_1}{\sin^2 \varphi} + \frac{1}{2} pR \left(1 - \frac{\sin^2 \varphi_1}{\sin^2 \varphi}\right), \quad (43)$$

$$N_2 = -\frac{N_{01} \sin \varphi_1}{\sin^2 \varphi} + \frac{1}{2} pR \left(1 + \frac{\sin^2 \varphi_1}{\sin^2 \varphi}\right) \quad (42)$$

$$\Delta = -\frac{1+\mu}{E\delta} \frac{N_{01} R \sin \varphi_1}{\sin \varphi} + \frac{pR^2 \sin \varphi}{2E\delta} \left[1 - \mu + (1+\mu) \frac{\sin^2 \varphi_1}{\sin^2 \varphi}\right], \quad (43)$$

$$\delta = 0.$$

Для определения величин, характеризующих напряженное состояние, представленное на фиг. 78, можно воспользоваться результатами, приведенными в статье [5].



Фиг. 7.

Отметим в заключение, что при использовании предлагаемого способа представления напряженного состояния оболочек вращения отпадает надобность в рассмотрении одного моментного напряженного состояния в случае исследования зоны сочленений оболочек.

ЛИТЕРАТУРА

1. С. Д. Пономарев, В. Л. Бидерман, К. К. Лихарев, В. М. Макушин, Н. Н. Малинин, В. П. Феодосьев. Расчеты на прочность в машиностроении, т. 2, Машгиз, 1958.
2. В. В. Новожилов. Теория тонких оболочек, Судпромгиз, 1962.
3. В. Флюгге. Статика и динамика оболочек, Госстройиздат, 1961.
4. З. Б. Канторович. Основы расчета химических машин и аппаратов, Машгиз, 1960.
5. Ю. Л. Тарасов. Определение напряжений в сочленении трубопровода со сферическим дном бака. Труды КуАИ, вып. 39, 1968.
6. Ю. Л. Тарасов. Инженерный метод определения напряжений в сочленениях трубок с пластинами при наличии конического переходного участка. Труды КуАИ, вып. XXIX, 1967.
7. Л. Н. Носова. Таблицы функций Томсона и их первых производных, изд-во АН СССР, 1960.
8. G. D. Galletly Influence Coefficients for Open — Crown Hemispheres, Journal of Engineering for Industry, № I, 1960.